

## مقایسه و ارزیابی جداسازی در غشاهاي زئولیتی نانو حفره ای

منصور کاظمی مقدم<sup>۱\*</sup>، تورج محمدی<sup>۲</sup>

۱- تهران - دانشگاه صنعتی مالک اشتر

۲- تهران - دانشگاه علم و صنعت ایران

(تاریخ وصول: ۸۹/۱۱/۱۸، تاریخ پذیرش: ۹۰/۴/۲۸)

### چکیده

زئولیت ها موادی کریستالی با توزیع یکنواخت حفرات و مقاوم در محیط شیمیایی و حرارتی بالا می باشند. غشاهاي زئولیتی  $NaA$ ,  $ZSM-5$  و  $NaY$  Mordenite,  $NaX$  بر روی پایه های بذرگار شده مولاپت، رشد داده شدند. عملکرد جداسازی غشاهاي زئولیتی برای محلول های آب و دی متیل هیدرازین با استفاده از فرایند تراوش تبخیری ارزیابی شد. بهترین فلاکس و ضریب جداسازی غشاها به میزان  $0.62 \text{ kg/m}^2 \cdot \text{h}$  و به ترتیب برای غشاء زئولیتی  $NaA$  بدست آمد. تقابل قوی الکترواستاتیکی بین مکان های یونی و مولکول های آب (به دلیل قطبیت بالای آن) غشاهاي زئولیتی  $NaA$  را بسیار آب دوست می سازد. در ادامه این تحقیق، آزمایشات غشاء A با محلول های آب  $UDMH$ - (۱-۲۰ درصد وزنی) در دمای ۲۵ درجه سانتی گراد انجام می شود. فلاکس کل برای محلول های آب  $UDMH$ - با افزایش غلظت  $UDMH$  از ۱ درصد تا ۲۰ درصد وزنی از  $0.331 \text{ kg/m}^2 \cdot \text{h}$  تا  $0.241 \text{ kg/m}^2 \cdot \text{h}$  تغییر کرد. مکان های یونی ماتریکس زئولیت  $NaA$  نقش خیلی مهمی را در انتقال آب از میان غشاء به عهده دارد. این مکان ها هم در جذب آب و هم در انتقال آن عمل می کنند. نفوذ سطحی آب در یک مدل فعل از میان مکان های فعل اتفاق می افتد. ساختار دقیق نانو حفره ای زئولیت در غربال مولکولی حلال کمک می کند و منتهی به ضرایب جداسازی بالا می شود. یک مقایسه بین فلاکس تجربی و محاسباتی با استفاده از روابط است凡ان ماکسول<sup>۳</sup> انجام شد و رفتار خطی برای فلاکس آب از میان غشاء با غلظت های  $UDMH$ <sup>۱</sup> نشان داده شد.

واژه های کلیدی: نانو حفره، تراوش تبخیری، غشاهاي زئولیتی، مدل استفان ماکسول.

### ۱- مقدمه

روش های جداسازی مرسوم و سنتی همچون تقطیر را به ویژه در سیستم هایی که مشکلات ترمودینامیکی دارند (مانند آزو تروبه و ایزومرها و یا برای مواد با درصد پایین (دفع کردن و یا بازیابی) دارا می باشد. علاوه بر ضریب جداسازی و میزان فلاکس بالا، کم بودن انرژی مصرفی و اینمی بالا از دیگر مزایای فرایند تراوش تبخیری می باشند [۴ و ۵]. اخیراً تراوش تبخیری به عنوان یک روش جدید در فرایندهای جداسازی جای خود را باز کرده است و قابلیت غلبه بر کلیه مشکلات روش های سنتی همچون مصرف انرژی، محدودیت های ترمودینامیکی و مسائل زیست محیطی را دارد. در حال حاضر

روش های سنتی خالص سازی مواد همچون تقطیر و استخراج مستلزم صرف انرژی بسیار می باشند و همچنین در این روش ها به دلیل حرارت دادن محصول و یا محلول شدن آن با حلal امکان تجزیه شدن و یا ایجاد ناخالصی در آن وجود دارد. بنابراین، جستجو برای یافتن یک روش جایگزین که اقتصادی تر باشد و قابلیت غلبه بر مشکلات زیست محیطی و محدودیت های روش های سنتی را داشته باشد کاملاً محسوس است [۱-۳]. تراوش تبخیری (Pervaporation)، یک فرایند جداسازی می باشد که قابلیت رقابت با

\* E-mail: mzkarzemi@gmail.com

3- Maxwell Stefan (M.S)

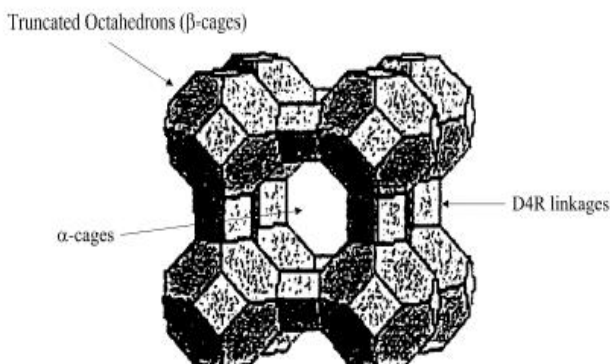
4- Unsymmetrical Dimethylhydrazine

- استادیار

- استاد

(ii) ۰.۴۲ nm در قطر، جدا شده به وسیله روزنہ  $\beta$ -cage، متناوب با  $\beta$ -cage جدا شده با روزنہ های ۰.۲۲ nm وجود دارد. بنابراین مولکول های کوچکتر از ۰.۴۲ nm می توانند از میان حفرات زئولیت عبور کنند. همچنین، موقعیت یون های سدیم در سلول ها مهم می باشد از آنجا که این یونها به عنوان مکان هایی برای جذب آب و انتقال از میان غشاء عمل می کنند. برای یک زئولیت نمونه، یک واحد سلولی دارای ترکیب  $Na_{12}Al_{12}Si_{12}O_{48} \cdot 27H_2O$ ، هشت (تا ۱۲) یون سدیم قرار گرفته اند در داخل  $\beta$ -cage و ۴ یون در  $\beta$ -cage فرار گرفته اند.

انتقال مولکول های آب از میان ماتریس زئولیت تشکیل شده است از سه مرحله : (i) جذب قوی مولکول های آب در cage زئولیت، (ii) نفوذ سطحی مولکول ها از cage به cage و (iii) تبخیر مولکول ها در سمت تراویش کرده. عموماً، هر فرایند جذب فیزیکی شامل دو نیروی پراکندگی - دفع و اندروالس و نیروی الکترواستاتیکی شامل پلاریزاسیون، دوقطبی، و تقابل و فعل و انفعالات چهارتایی می باشد. به هر حال، از آنجا که زئولیت ها دارای یک ساختمان یونی هستند، نیروهای الکترواستاتیکی در جذب مولکول های قطبی شبیه آب خیلی بزرگ می شوند.



شکل ۱- سلول زئولیت A [۷].

این اثر این واقعیت را آشکار می کند که حرارت جذب آب بر روی جاذبهای زئولیتی به طور غیرمعمولی بالا است (۲۵-۳۰ kcal/mole). حرارت جذب یک اندازه مستقیم از قدرت پیوند بین جذب شده و سطح می باشد. بنابراین که یک اثر متقابل بین آب و یونهای موجود در cage زئولیت وجود دارد [۷]. در مدل ماکسول استفان برای نفوذ از میان زئولیت، فرض می شود  $n+1$  مکان خالی مجازی وجود داشته باشد. گرادیان پتانسیل شیمیایی برای مولکول های نفوذی به صورت ذیل نوشته می شود.

در کشورهای صاحب فناوری از این روش برای تخلیص مواد دارای آزوتروپ که به سادگی به وسیله روش های سنتی قابل خالص سازی نمی باشند، استفاده می شود [۶].

در این تحقیق، برای اولین بار از غشاها زئولیتی برای تخلیص محلول آمینی آبدار  $UDMH^3$  استفاده شده است و انواع زئولیت های انتخاب پذیر و آب دوست بر روی پایه های سرامیکی مولایت نشانده شده و از طریق اندازه گیری میزان جداسازی محلول های  $UDMH$  و آب به طور موفقیت آمیزی ارزیابی شده اند. همچنین در ادامه تحقیق، از غشاها زئولیتی  $NaAA$  برای تخلیص محلول آبدار  $UDMH$  استفاده شده است. تمرکز تحقیق روی مکانیسم جداسازی در غشاء زئولیتی با استفاده از تغیر استفان ماسکول می باشد. همچنین در این تحقیق نتایج محاسبه ای مدل استفان ماسکول با نتایج تجربی بدست آمد از فرایند تراویش تبخیری مقایسه شده است.

## ۲- فرمولاسیون مدل استفان-ماکسول برای نفوذ تک جزئی

شبیه سازی های مولکولی و مدل استفان ماکسول نشان می دهد که در بعضی از مخلوط ها، مولکول های آهسته تر، مانع نفوذ سریع مولکول های سریع تر می شوند. به همین علت می توان پیش بینی نمود که مولکول ها در داخل غشاء به سختی از کنار هم عبور کنند و مولکول های آهسته تر حرکت مولکول های سریع تر را نیز کند نمایند. در مقابل، مولکول های دارای تحرك کمتر، توسط مولکول های سریع شتاب گیرند و سرعت آن ها افزایش یابد. بهترین روش برای مدل سازی نفوذ تک جزئی در زئولیت، استفاده از فرمولاسیون استفان ماکسول برای نفوذ در یک مخلوط دو جزئی می باشد. در تئوری استفان ماکسول، برای ایجاد حرکت نسبی دو جزء، ۱ و ۲ در مخلوط سیال، باید نیرویی به هر جزء وارد شود. نیروی محرکه گرادیان پتانسیل شیمیایی است که در دما و فشار ثابت اندازه گیری می شود. این نیروی محرکه با اصطکاک بین اجزاء نفوذی ۱ و ۲ متعادل می شود.

شکل ۱ نشان می دهد که ساختمان زئولیت A از سلول های ۸ وجهی ( $\beta$ -cage) در هشت گوش هر مکعب و در هر لبه مکعب دو  $\beta$ -cage با یک پیوند D4R به هم ملحق شده اند. هر  $\beta$ -cage دارای یک حفره با یک قطر آزاد  $0.66\text{ mm}$  را در میان گرفته است. هر سلول یک حفره بزرگتر ( $\alpha$ -cage) دارای یک قطر آزاد  $1.14\text{ nm}$  را در میان گرفته است. در هر سلول زئولیتی دو اتصال داخلی، کانال های سه بعدی ( $\alpha$ -cage

با لحاظ کردن معادلات (۶) الی (۸) و معادلات (۷) الی (۹) معادلات ذیل حاصل می‌شوند.

$$J_1^s = -\rho_p \varepsilon q_{sat}^1 D_{IV}^s \left[ \theta_1 \frac{\partial \ln a_1}{\partial \theta_1} \frac{d\theta_1}{dz} + \theta_1 \frac{\partial \ln a_1}{\partial \theta_2} \frac{d\theta_2}{dz} \right] \quad (10)$$

$$J_2^s = -\rho_p \varepsilon q_{sat}^2 D_{IV}^s \left[ \theta_2 \frac{\partial \ln a_2}{\partial \theta_2} \frac{d\theta_2}{dz} + \theta_2 \frac{\partial \ln a_2}{\partial \theta_1} \frac{d\theta_1}{dz} \right] \quad (11)$$

این دو معادله فلاکس هر جزء از میان حفرات زئولیت شرح می‌دهند. طبیعت توابع  $\left(\frac{\partial \ln a_2}{\partial \theta_2}\right)$  و  $\left(\frac{\partial \ln a_1}{\partial \theta_2}\right)$ ,  $\left(\frac{\partial \ln a_2}{\partial \theta_1}\right)$ ,  $\left(\frac{\partial \ln a_1}{\partial \theta_1}\right)$  بستگی به طبیعت ایزوترم جذب هر جزء در زئولیت دارند. نفوذ‌های  $D_{IV}^s$  و  $D_{2V}^s$  همچنین به مکان‌های اشغال  $\theta_1$  و  $\theta_2$  بستگی دارند. برای زئولیت A با سایز کوچک حفرات آن می‌توان نفوذ تک جزئی فرض کرد. در حالت نفوذ تک جزئی، تنها یک مولکول می‌تواند از میان برش عرضی حفره در هر زمان نفوذ کند. نفوذ سطحی ماکسول استفان  $D_{IV}^s$  بستگی خطی به مکان‌های خالی  $(\theta_v)$  به صورت ذیل دارد.

$$D_{IV}^s = D_{IV}^s(0)\theta_v \quad (12)$$

با فرض اینکه ایزوترم جذب لانگمویر<sup>۱</sup> (برای آب خالص روی مکان‌های زئولیت) برای پیش‌بینی فعالیت  $(a_w)$  در زئولیت برای یک مکان اشغال شده داده شده  $(\theta_w)$ ، داریم.

$$a_w = \frac{A\theta_w}{1-\theta_w} \quad (13)$$

برای سیستم آب-زئولیت خالص، جزء ثانویه در معادلات (۱۱)، (۱۲) و (۱۳) می‌تواند حذف شود و معادلات فلاکس برای آب خالص می‌تواند به صورت ذیل نوشته شود.

$$J_w^s = \rho \varepsilon q_{sat}^w D_{wV}^s(0) \frac{d\theta_w}{dz} \quad (14)$$

انتگرال از معادله بالا در محدوده:

$z = 0, q_w = q_{w,f}$  و  $z = \delta, \theta_w = \theta_{w,p}$  می‌توان نوشت:

$$J_w^s = \frac{\rho \varepsilon q_{sat}^w D_{wV}^s(0)}{\delta} (\theta_{w,f} - \theta_{w,p}) \quad (15)$$

با حذف کردن  $q_{sat}^w$  با ترمیمایی که در برآکت هستند سرانجام معادله فلاکس به صورت ذیل می‌شود:[۸-۱۰].

$$J_w^s = \frac{\rho \varepsilon D_{wV}^s(0)}{\delta} (q_{w,f} - q_{w,p}) \quad (16)$$

$$-\nabla \mu_i = RT \sum_{k=1}^n \theta_k \frac{(v_i - v_{n+1})}{D_{ik}^s} + RT \theta_{n+1} \frac{(v_i - v_{n+1})}{D_{i,n+1}^s}, \quad i=1,2,\dots,n \quad (1)$$

در اینجا  $\mu_i$  بیان کننده پتانسیل شیمیایی سطح جزء i و  $\theta_i$  مکان اشغال شده جزء i و  $D_{ik}^s$  نفوذ جذبی حفره‌های استفان ماکسول. در معادله (۱) ترم اول معادله، مقدار نیروی اصطکاکی ناشی از برخورد مولکول ز با مولکول i (آب) می‌باشد و اگر حلال عبور نکند و آب فقط نفوذ می‌کند این ترم حذف می‌شود. معادله (۱) می‌تواند برای دو جزء به صورت ذیل نوشته شود.

$$-\frac{\nabla \mu_1}{RT} = \left[ \frac{\theta_2(v_1 - v_2)}{D_{12}^s} + \frac{v_1}{D_{1V}^s} \right] \quad (2)$$

$$-\frac{\nabla \mu_2}{RT} = \left[ \frac{\theta_1(v_2 - v_1)}{D_{21}^s} + \frac{v_2}{D_{2V}^s} \right] \quad (3)$$

فلاکس سطحی هر جزء به صورت ذیل می‌باشد.

$$J_1^s = \rho_p \varepsilon q_{sat}^1 \theta_1 v_1 \quad (4)$$

$$J_2^s = \rho_p \varepsilon q_{sat}^2 \theta_2 v_2 \quad (5)$$

در این معادله  $\rho_p$  دانسیته زئولیت،  $v$  تخلخل،  $q_{sat}^1$  ماگزیم مقدار ممکن جذب جزء i بر روی زئولیت می‌باشد،  $\theta_i$  مکان اشغال شده توسط i و  $v_i$  سرعت جزء i در میان حفره است.

فرض می‌کنیم هیچ نوع اتصال نفوذ و برخورد بین دو جزء وجود ندارد (۲) و (۳) می‌توانند به معادلات (۶) و (۷)  $(D_{12}^s \text{ and } D_{21}^s \rightarrow \infty)$ . معادلات (۲) و (۳) می‌توانند به معادلات (۶) و (۷) ساده شوند.

$$-\frac{\nabla \mu_1}{RT} = \frac{J_1^s}{\rho_p \varepsilon q_{sat}^1 \theta_1 D_{IV}^s} \quad (6)$$

$$-\frac{\nabla \mu_2}{RT} = \frac{J_2^s}{\rho_p \varepsilon q_{sat}^2 \theta_2 D_{2V}^s} \quad (7)$$

از ترمودینامیک پایه، گرادیان پتانسیل شیمیایی ( $\nabla \mu_1$  and  $\nabla \mu_2$ ) می‌توانند به صورت گرادیان مکان‌های اشغال شده هر جزء با معادلات ذیل بیان شوند:

$$-\frac{\theta_1 \nabla \mu_1}{RT} = \theta_1 \frac{\partial \ln a_1}{\partial \theta_1} \frac{d\theta_1}{dz} + \theta_1 \frac{\partial \ln a_1}{\partial \theta_2} \frac{d\theta_2}{dz} \quad (8)$$

$$-\frac{\theta_2 \nabla \mu_2}{RT} = \theta_2 \frac{\partial \ln a_2}{\partial \theta_2} \frac{d\theta_2}{dz} + \theta_2 \frac{\partial \ln a_2}{\partial \theta_1} \frac{d\theta_1}{dz} \quad (9)$$



شکل ۲ - پایه لومای مولایت.

جدول ۲- فرمولاسیون ژل غشاها زئولیتی ساخته شده.

| فرمول ژل  | نوع غشاء | نمونه |
|---|----------|-------|
| 5.0Na <sub>2</sub> O: 1.0Al <sub>2</sub> O <sub>3</sub> : 4.0SiO <sub>2</sub> : 150H <sub>2</sub> O           | NaX      | ۱     |
| 0.292Na <sub>2</sub> O: 1.0Al <sub>2</sub> O <sub>3</sub> : 100SiO <sub>2</sub> : 2.0TPABr 40H <sub>2</sub> O | ZSM-5    | ۲     |
| 4.0Na <sub>2</sub> O: 1.0Al <sub>2</sub> O <sub>3</sub> : 10SiO <sub>2</sub> : 250H <sub>2</sub> O            | NaY      | ۳     |
| 9.75Na <sub>2</sub> O: 1.0Al <sub>2</sub> O <sub>3</sub> : 9.0SiO <sub>2</sub> : 780H <sub>2</sub> O          | موردنیت  | ۴     |
| 1.926 SiO <sub>2</sub> : Al <sub>2</sub> O <sub>3</sub> : 3.165 Na <sub>2</sub> O: 128 H <sub>2</sub> O       | NaA      | ۵     |

آنالیز تفرق اشعه ایکس پایه ها و غشاها برای اطمینان از تشکیل فازهای مولایت و زئولیت توسط دستگاه پراش اشعه ایکس (Philips PW1710، Philips Co., Netherlands) انجام شده است (شکل ۳). ساختار زئولیت های تشکیل شده به وسیله دستگاه میکروسکوپ الکترونی (JEM-5600LV) بررسی شده است (شکل های ۴ و ۵). نتایج نشان می دهد که کریستال های زئولیت به خوبی بر روی سطح پایه ها تشکیل شده اند. غشاها زئولیتی تهیه شده برای جداسازی مخلوط های آب و UDMH مورد استفاده قرار گرفته اند. آزمایش های تراوش تبخیری طی زمان های ۳۰-۶۰ دقیقه با استفاده از یک پایلوت آزمایشگاهی (شکل های ۶ و ۷) انجام شده اند. غلظت های مواد تراوش کرده به وسیله دستگاه کروماتو گرافی گازی (GC, TCD detector, Varian 3400) اندازه گیری و عملکرد فرایند تراوش تبخیری به وسیله میزان فلاکس (kg/m<sup>2</sup>.h) و ضریب جداسازی ارزیابی شده است. نتایج جداسازی محلول های مختلف UDMH همراه با میزان فلاکس بدست آمده برای کلیه غشاها در جدول ۳ ارائه شده است. ضرایب جداسازی ۲۰۴۰۰ و ۵۲۰۰۰ بالاترین میزان اندازه گیری شده با استفاده از دستگاه کروماتو گرافی گازی در غلظت های %۲ و %۵ از UDMH می باشند.

### ۳- بخش تجربی

در غشاها سرامیکی، لایه های نازک و متراکم معمولاً بر روی پایه های متخلخل نشانده می شوند. این پایه های متخلخل استحکام مکانیکی لازم را برای لایه های انتخاب پذیر نشانده شده فراهم می نمایند. پایه های متخلخل از مواد مختلفی همچون استیل متخلخل، آلفا آلومینا، کرون دوم، مولایت، سیلیکا، اسپینل، زیرکونیوم، سیلیکون کارباید، سایر اکسیدهای نسوز و ترکیب این اکسیدها، کربن و فلزات ساخته می شوند.

در این تحقیق، پایه مولایت از گل کائولن (جدول ۱) تهیه شده است. کائولن به عنوان منبع آلومیناسیلیکات از طریق کلسیناسیون حرارتی در دماهای بالا تبدیل به مولایت شده است. این واکنش به صورت ذیل انجام می شود:

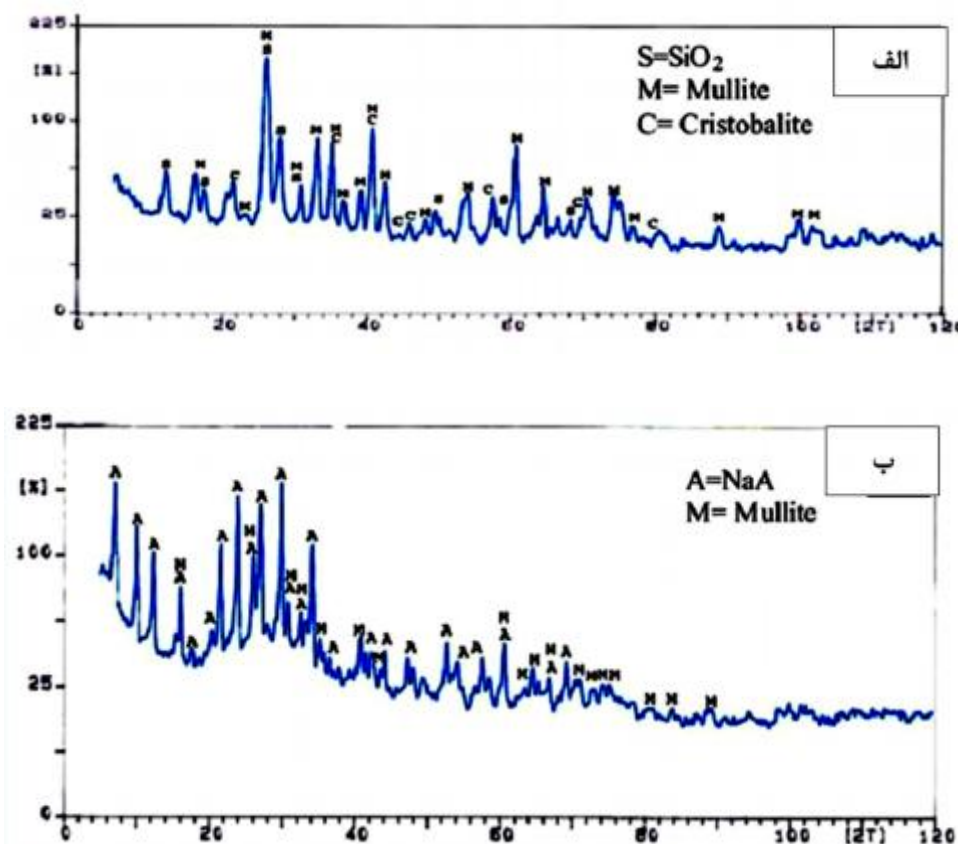


جدول ۱- آنالیز گل کائولن.

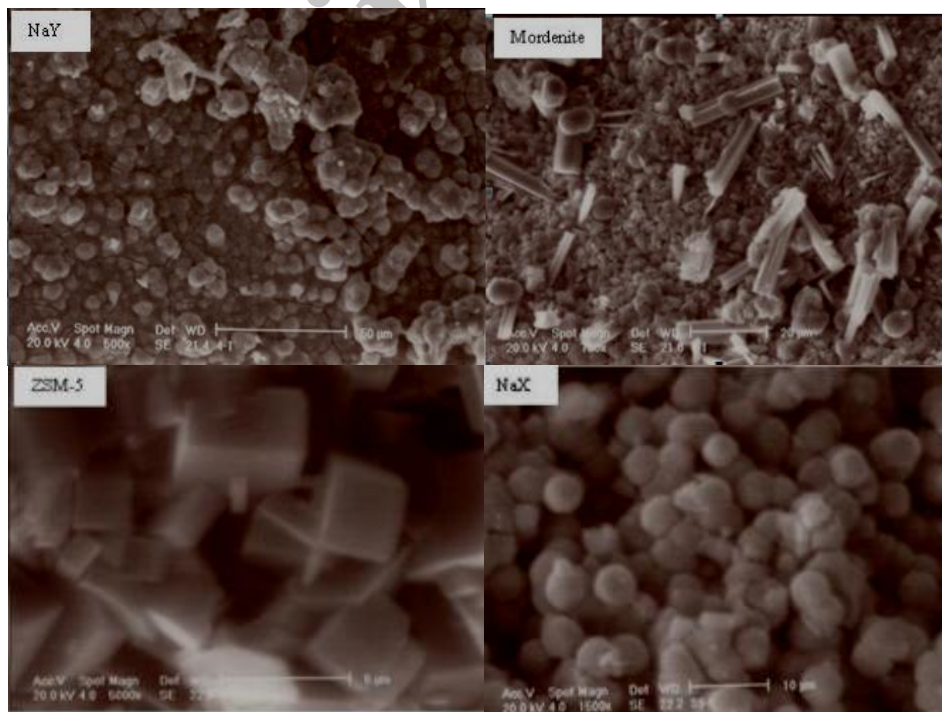
| ترکیب                          | درصد (%) | فاز       | درصد (%) | درصد (%) |
|--------------------------------|----------|-----------|----------|----------|
| SiO <sub>2</sub>               | ۵۱/۹     | Kaolinite | ۷۹       |          |
| TiO <sub>2</sub>               | ۰/۱      | Illite    | ۸        |          |
| Al <sub>2</sub> O <sub>3</sub> | ۳۴/۱     | Quartz    | ۱۰       |          |
| Fe <sub>2</sub> O <sub>3</sub> | ۱/۴      | Feldspar  | ۳        |          |
| K <sub>2</sub> O               | ۰/۸      |           |          |          |
| Na <sub>2</sub> O              | ۰/۱      | Total     | ۱۰۰      |          |
| L.O.I                          | ۱۱/۶     |           |          |          |
| Total                          | ۱۰۰      |           |          |          |

پایه های متخلخل مولایت به شکل استوانه ای ( قطر داخلی : ۱۰ میلی متر، قطر خارجی ۱۴ میلی متر، طول : ۱۵۰ میلی متر) به وسیله روش اکستروژن و با استفاده از ۶۷-۷۵ درصد کائولن و ۲۵-۳۳ درصد آب م قطر ساخته شده اند. شرایط کلسیناسیون برای ساخت این پایه ها در کوره، مدت زمان ۳ ساعت و دمای ۱۲۵۰ درجه سانتی گراد بوده است (شکل ۲ و ۱۱).

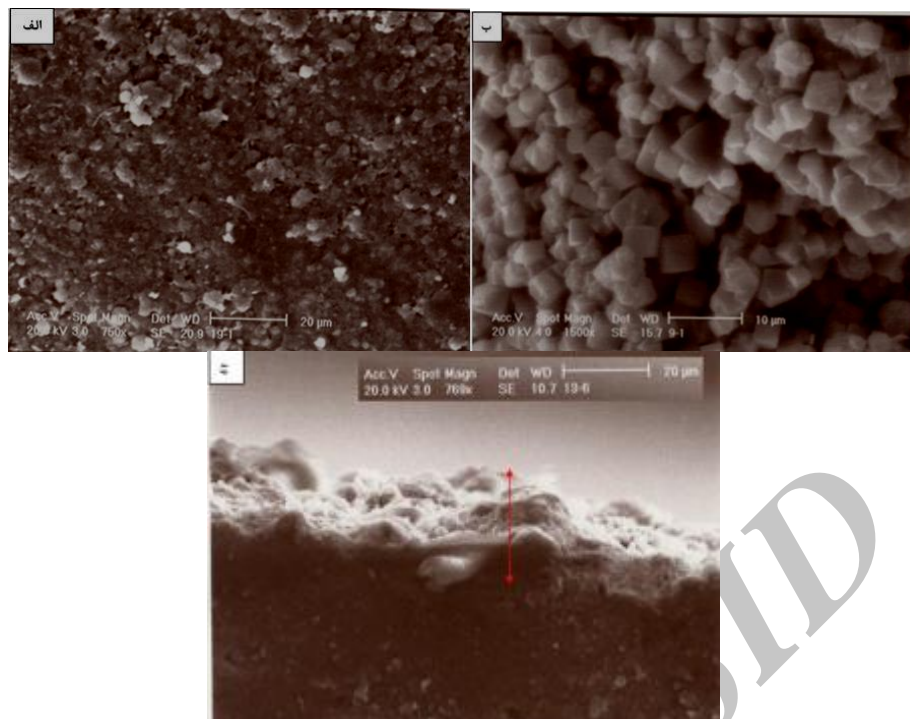
غشاها زئولیتی به صورت هیدروترمال بر روی سطح پایه مولایت رشد داده شده اند. مواد استفاده شده برای سنتر ژل هیدروترمال شامل یک منبع آلومینا مانند آلومینات سدیم، یک منبع سیلیسیس مانند سیلیکات سدیم و آب م قطر و سود بوده است. ترکیبات ژل های مختلف تهیه شده که بر روی سطح پایه ها نشانده شده اند در جدول ۲ ارائه شده است [۱۳-۲۴].



شکل ۳ - پراش اشعه ایکین (الف) پایه ب (ب) غشاء.



شکل ۴ - عکس میکروسکوپ الکترونی (SEM) از غشاها زئولیتی.



شکل ۵- عکس میکروسکوپ الکترونی (الف) پایه (ب) سطح غشاء A و (ج) سطح مقطع غشاء A و پایه.

جدول ۳- فلاکس و ضریب جداسازی غشاهای زئولیتی ساخته شده.

| ضریب جداسازی | فلاکس<br>kg/m <sup>2</sup> .h | UDMH<br>در خوراک (%) | نوع غشاء | نمونه |
|--------------|-------------------------------|----------------------|----------|-------|
| ۴۰           | ۱/۳۴                          | ۵                    | NaX      | ۱     |
| ۵۵           | ۰/۶۷                          | ۵                    | ZSM-5    | ۲     |
| ۷۲           | ۰/۲۷                          | ۵                    | NaY      | ۳     |
| ۲۶۴          | ۲/۱۴                          | ۵                    | موردنیت  | ۴     |
| ۵۲۰۰۰        | ۰/۳۲                          | ۵                    | A        | ۵     |
| ۲۰۴۰۰        | ۰/۶۲                          | ۲                    | A        | ۶     |

جدول ۴- فلاکس و ضریب جداسازی غشاء زئولیتی ساخته شده.

| ضریب<br>جداسازی | فلاکس<br>kg/m <sup>2</sup> .h | UDMH<br>در خوراک (%) | نوع غشاء | نمونه |
|-----------------|-------------------------------|----------------------|----------|-------|
| ۱۰۰۰۰           | ۰/۳۳۱                         | ۱                    | NaA      | ۱     |
| ۱۰۰۰۰           | ۰/۳۱۱                         | ۵                    | NaA      | ۲     |
| ۱۰۰۰۰           | ۰/۲۸۰                         | ۱۰                   | NaA      | ۳     |
| ۱۰۰۰۰           | ۰/۲۶۲                         | ۱۵                   | NaA      | ۴     |
| ۱۰۰۰۰           | ۰/۲۴۱                         | ۲۰                   | NaA      | ۵     |

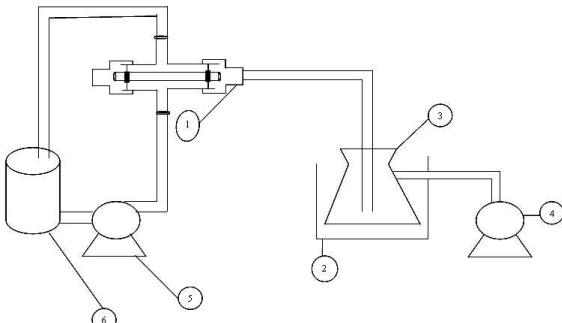
نتایج جداسازی محلول های مختلف UDMH همراه با میزان فلاکس بدست آمده برای کلیه غشاها در جدول ۳ ارائه شده است. ضرایب جداسازی

نتایج نشان می دهند که استفاده از غشاهای زئولیتی (خصوصاً غشاهای زئولیتی NaA) قابل اعتمادترین و کارآمدترین روش برای تخلیص محلول های هیدرژینی شامل UDMH می باشد.

همانطوریکه اشاره شد به منظور انجام یک مطالعه کامل در مورد بررسی امکان پذیری آبدایی از مخلوط آب/UDMH و بدست آوردن اطلاعات خوب و قابل استناد، آزمایشات تجربی بدست آمده را با اطلاعات تئوری مدل استفان ماکسول مطابقت می دهیم. برای استفاده از معادله ۱۶، نیاز به ضریب نفوذ آب در زئولیت می باشد. برای محاسبه ضریب نفوذ، نیاز به مقدار جذب آب در سطح زئولیت در سمت خوارک می باشد. لازم به ذکر است که شرایط عملیات بدون فشار و در دمای محیط بوده است. در دمای  $25^{\circ}\text{C}$  و مقادیر  $\rho_s = 1990 \text{ kg/m}^3$ ,  $\varepsilon = 0.49$ ,  $\delta = 20 \mu\text{m}$  بدست آمده از غشاء، فرض شده است که  $q_{w,p} = 0$  باشد. در دمای  $25^{\circ}\text{C}$  و بدون اعمال فشار فلاکس آب خالص برابر  $0.34 \text{ kg/(m}^2.\text{h)}$  ( $q_{w,f} = 0.6 \text{ kg/kg zeolite}$ ) می باشد. با توجه به این شرایط میزان ضریب نفوذ برای آب خالص برابر  $3.23 \times 10^{-8} \text{ cm}^2/\text{s}$  می باشد. مقادیر جذب آب (در مخلوطهای مختلف آب UDMH/ آب توسط زئولیت اندازه گیری شده است. جذب سطحی در زئولیتها فیزیکی و بنابراین فرایندی غیرفعال، گرمaza و برگشت پذیر می باشد.

روش های مختلفی برای اندازه گیری جذب سطحی مثل میکرو کالریمتری، گراویمتری، حجم سنجی، دفع با تغییر دما، کروماتوگرافی و تراوش ناپایدار وجود دارد. با توجه به مشکلات خاص هر روش و در اختیار نداشتن امکانات مورد نیاز آن ها، از یک روش تقریبی برای اندازه گیری میزان جذب آب روی سطح زئولیت A استفاده شده است. در این روش فرض می شود ماده آلی روی سطح زئولیت جذب نمی شود (با توجه به رقیق بودن محلول خطابسیار ناجیز می باشد). در این روش ابتدا مقداری پودر زئولیت با محلول هم زده می شود سپس پودر زئولیت از محلول جدا و در دمای محیط به مدت ۲۴ h قرار داده می شود تا آب بین دانه های خارج شود و سپس وزن می گردد. اختلاف وزن آن با پودر خشک اولیه به عنوان میزان آب جذب شده در نظر گرفته می شود. مقادیر محاسبه شده برای جذب و فلاکس تجربی و تئوری که از معادله ۱۶ بدست آمده در جدول ۵ آورده شده است. لازم به ذکر است که فرض دیگری که استفاده شده این بوده است که میزان ضریب نفوذ برای آب خالص، برای همه نمونه ها استفاده شده است و این با توجه به رقیق بودن محلول ها تقریباً صحیح می باشد. شکل ۸ مقایسه فلاکس های تجربی و محاسبه شده با استفاده از مدل S.M ارائه شده است. همان طور که از جدول ۵ و شکل ۸ مشاهده می شود کاهش میزان آب موجود در مخلوط باعث کاهش میزان فلاکس آب شده است. همان طور که مشاهده می شود نتایج تجربی و محاسباتی با استفاده از مدل استفان ماکسول با یکدیگر سازگار هستند.

و ۵۲۰۰۰ بالاترین میزان اندازه گیری شده با استفاده از دستگاه کروماتوگرافی گازی در غلظت های ۲٪ و ۵٪ UDMH می باشند.



شکل ۶- شماتیک پایلوت تراوش تبخیری؛ ۱- مخزن خوارک و سل تراوش تبخیری -۲- تله نیتروژن مایع ۳- مخزن تراوش شده ۴- پمپ خلاء سه مرحله ای ۵- پمپ سانتریفیوژ خوارک ۶- مخزن خوارک.



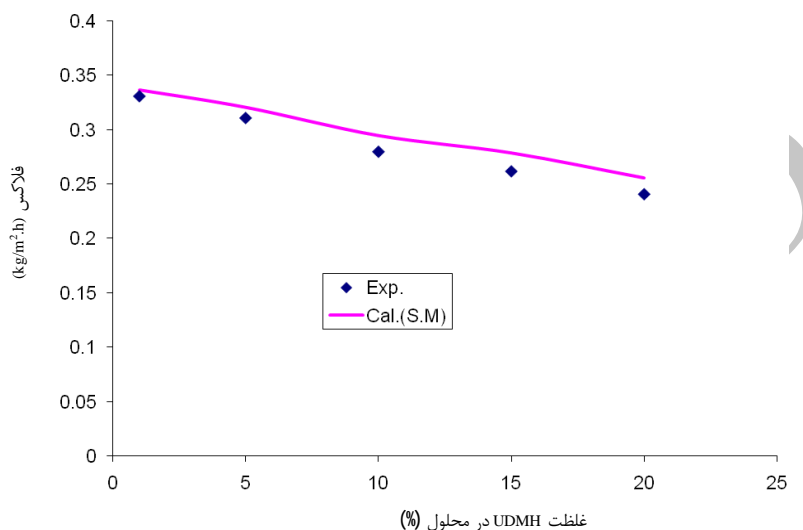
شکل ۷- پایلوت استفاده شده برای آزمایشگاه تجربی.

#### ۴- بررسی داده های بدست آمده با مدل ماکسول استفان

همانطوریکه در بالا بدست آورده شد معادله (۱۶) برای نفوذ تک جزئی آب از میان زئولیت A می باشد. با استفاده از این معادله داده های تجربی بدست آمده با مدل ماکسول - استفان ارزیابی می شود و نشان داده می شود که داده های بدست آمده به خوبی با معادلات ماکسول - استفان تطابق دارند. در معادله (۱۶)  $q_{w,p}$  و  $q_{w,f}$  مقادیر جذب شده آب در زئولیت در سمت خوارک و محصول (تراوش کرده) می باشند.  $J_w^s$  میزان تراوش آب و  $(0)$  ضریب نفوذ سطحی M.S در زئولیت می باشد و  $\rho$ ,  $\varepsilon$  و  $\delta$  به ترتیب دانسیته زئولیت، تخلخل زئولیت و ضخامت زئولیت می باشند.

جدول ۵ - مقادیر فلاکس های محاسبه شده با روش S.M و تجربی.

| رده | $kg/kg$ zeolite | $q_{w,f}$ | UDMH (%) | فلاکس تجربی ( $kg/m^2.h$ ) | فلاکس محاسبه شده ( $kg/m^2.h$ ) |
|-----|-----------------|-----------|----------|----------------------------|---------------------------------|
| ۱   | .۰۵۸۹           | .۰۳۳۷     | ۱        | .۰۳۳۱                      | .۰۳۳۷                           |
| ۲   | .۰۵۶۰           | .۰۳۲۱     | ۵        | .۰۳۱۱                      | .۰۳۲۱                           |
| ۳   | .۰۵۱۱           | .۰۲۹۵     | ۱۰       | .۰۲۸۰                      | .۰۲۹۵                           |
| ۴   | .۰۴۷۳           | .۰۲۷۹     | ۱۵       | .۰۲۶۲                      | .۰۲۷۹                           |
| ۵   | .۰۴۳۲           | .۰۲۵۶     | ۲۰       | .۰۲۴۱                      | .۰۲۵۶                           |



شکل ۸ - مقایسه فلاکس های تجربی و S.M.

بالا به دلایل تقابل قوی بین مولکول های آب و مکان های یونی در ساختار کریستالی زئولیت و انجام فرایند غربال توسط حفرات نانو سایز زئولیت می تواند توضیح داده شود. نتایج تجربی جداسازی مخلوط های مختلف آب-UDMH در فرایند تراوش تجزیی تقابل نزدیکی با نتایج بدست آمده از تئوری مدل استفان ماسکول نشان داد.

## مراجع

- [1]. Jafar, M. B. "Separation of Alcohol/water Mixtures by Pervaporation Through Zeolite NaA Membranes."; Microporous Materials 1997, 12, 305-311.
- [2]. Liu, R.; Noble, L.; Falconer, H. "Organic/water Separation by Pervaporation with a Zeolite Membrane."; Journal of Membrane Science 1996, 117, 163-174.
- [3]. Verkerk, P.; Male, M. A. G.; Vorstman, J. T. F. "Properties of High Flux Ceramic Pervaporation Membranes for Dehydration of Alcohol/water Mixtures."; Separation and Purification Technology 2001, 22-23, 689-695.
- [4]. Xin, L.; Kresse, Z. K.; Zhou, J. "Effect of Temperature and Pressure on Gas Transport in Ethyl Cellulose Membrane."; Polymer 2001, 42, 6801-6810.

## ۵- نتیجه گیری

در این تحقیق برای اولین بار از غشاها زئولیتی برای تخلیص محلول های UDMH استفاده شده است. غشاها زئولیتی با روش سنتز هیدروترمال بر روی سطح پایه های متخلخل مولایت پوشانده شده اند. بیشترین ضریب جداسازی بدست آمده در این تحقیق با استفاده از غشاها زئولیتی و محلول های مختلف ۲% و ۵% UDMH به ترتیب معادل ۲۰۴۰۰ و ۵۲۰۰۰ و بالاترین میزان فلاکس بدست آمده معادل  $2/14 \text{ kg}/\text{m}^2.\text{h}$  بوده است. بکارگیری این غشاها از نظر مصرف انرژی و مسائل اقتصادی (سهولت افزایش مقیاس) و همچنین از نظر مسائل زیست محیطی روشی جالب برای تخلیص محلول های مایع (مانند ترکیبات دارای آزوتروپ) در صنایع مختلف می باشد. این غشاها قابلیت استفاده جهت تهیه مواد با خلوص بسیار بالا را دارند. همچنین در این تحقیق مقایسه ای بین مدل استفان ماسکول و نتایج تجربی بدست آمده از غشاها زئولیتی NaA با محلول های UDMH انجام شده است. مدل ارائه شده یک شیوه مفهومی مدل سازی می باشد و در ک مفیدی از فرایند واقعی انتقال در غشاها نانو حفره را نشان می دهد. ضرایب جداسازی

- [16]. Ammuaypanich, J.; Patthana, P. "Mixed Matrix Membranes Prepared from Natural Rubber/poly(vinyl alcohol) Semi-Interpenetrating Polymer Network (NR/PVA semi-IPN) Incorporating with Zeolite 4A for the Pervaporation Dehydration of Water-Ethanol Mixtures."; *Chemical Engineering Science* 2009, 64, 4908–4918.
- [17]. Kittur, S. S.; Kulkarni, M. I. "Preparation and Characterization of Novel Pervaporation Membranes for the Separation of Water-Isopropanol Mixtures using Chitosan and NaY Zeolite."; *Journal of Membrane Science* 2005, 247, 75–86.
- [18]. Kariduraganavar, A. A.; Kittur, S. S. "Development of Novel Pervaporation Membranes for the Separation of Water-isopropanol Mixtures Using Sodium Alginate and NaY Zeolite."; *Journal of Membrane Science* 2004, 238, 165–175.
- [19]. Gang, L.; Eiichi, K. "A Study on the Pervaporation of Water-acetic Acid Mixtures Through ZSM-5 Zeolite Membranes."; *Journal of Membrane Science* 2003, 218, 185–194.
- [20]. Navajas, A.; Reyes, M.; Tellez, C.; Coronas, J.; Menhdez, M.; Santamaria, J. "Preparation of Mordenite Membranes for Pervaporation of Water-Ethanol Mixtures."; *Desalination* 2002, 148, 25–29.
- [21]. Li, E.; Kikuchi, M. "Separation of Water/Acetic acid Mixtures by Pervaporation using a Thin Mordenite Membrane."; *Separation and Purification Technology* 2003, 32, 199–206.
- [22]. Shiguang, L.; Vu, A. "X-type Zeolite Membranes: Preparation, Characterization, and Pervaporation Performance."; *Microporous and Mesoporous Materials* 2002, 53, 59–70.
- [23]. Zhongqiang, X. "Preparation of Zeolite X Membranes on Porous Ceramic Substrates with Zeolite Seeds."; *Journal of Natural Gas Chemistry* 2002, 11, 171–179.
- [24]. Lizhi, Z.; Tao, W. "Cordierite-supported ZSM-5 Membrane: Preparation and Pervaporation Properties in the Dehydration of Water-Alcohol Mixture."; *Separation and Purification Technology* 2005, 44, 266–270.
- [5]. Sridhar, G.; Susheela, G. J.; Khan, A. A. "Cross Linked Chitosan Membranes: Characterization and Study of Dimethylhydrazine Dehydration By Pervaporation."; *Polymer International* 2001, 50, 1156–1165.
- [6]. Kondo, M.; Komori, H.; Kita, K. I. "Tubular-type Pervaporation Module with Zeolite NaA Membrane."; *Journal of Membrane Science* 1997, 133, 133–141.
- [7]. Krishna, D. "Diffusion of Binary Mixtures in Zeolites: Molecular Dynamics Simulations Versus Maxwell-Stefan Theory."; *Chemical Physics Letters* 2000, 326, 477–484.
- [8]. Hogendoorn, A.; Veen, A. "Application of the Maxwell-Stefan Theory to the Membrane Electrolysis Process Model Development and Simulations."; *Computers and Chemical Engineering* 2001, 25, 1251–1265.
- [9]. Krishna, D. "Separation of Hydrocarbon Mixtures using Zeolite Membranes: A Modeling Approach Combining Molecular Simulations with the Maxwell-Stefan Theory."; *Separation and Purification Technology* 2000, 21, 111–136.
- [10]. Krishna, D. "Verification of the Maxwell-Stefan Theory for Diffusion of Three-Component Mixtures in Zeolites."; *Chemical Engineering Journal* 2002, 87, 1–9.
- [11]. Mohammadi, T.; Pak, A. "Effect of Calcination Temperature of Kaolin as a Support for Zeolite Membranes."; *Separation and Purification Technology* 2003, 30, 241–249.
- [12]. Speronello, A. "Porous Mullite."; U.S. Patent 4,628,042, 1986.
- [13]. Kazemimoghadam, M.; Pak, A.; Mohammadi, T. "Dehydration of Water/1-dimethylhydrazine Mixtures by Zeolite Membranes."; *Microporous and Mesoporous Materials* 2004, 70, 127–134.
- [14]. Sonia, A.; Jansen, F. "Continuous Synthesis of NaA Zeolite Membranes."; *Microporous and Mesoporous Materials*, 2009, 120, 170–176.
- [15]. Malekpour, M. R.; Millani, M. "Synthesis and Characterization of a NaA Zeolite Membrane and Its Applications for Desalination of Radioactive Solutions."; *Desalination*, 2008, 225, 199–208.